

京都大学 工学部 正会員 松尾新一郎  
明石工業高等専門学校 正会員 ○ 沢 孝 平

**1. まえがき** 筆者らは、マサ土粒子の破碎性について研究し、マサ土の構成鉱物である石英、長石粒子の単独破碎、単一粒径の破碎を出発点とし、両鉱物混在による破碎性、混合粒径の破碎性を検討し、選択破碎の概念をは握してきた。<sup>1)</sup> そこでは、単一粒径の破碎性と混合粒径の破碎性の評価を別々にしていた。今回、これを同じ指標で評価すべく、粒度分布曲線より求めた指標と、従来から用いている破碎率、移動率とを結びつけ、混合粒径の破碎性を検討する。

**2. 試料および実験方法** 試料は比エイ山のマサ土を用いた。破碎試験は落下法により行なった。詳細は前報<sup>2), 3)</sup> を参照して頂きたい。

**3. 破碎性の指標と破碎型式** 破碎性の指標としては、単一粒径において破碎率と移動率<sup>1)</sup>、混合粒径において均等係数<sup>4)</sup>、粒度分布曲線の近似式の係数<sup>2)</sup>の変化を用いてきた。破碎率は破碎性の量的表現である。一方、破碎による破碎前の粒径のすぐ下の粒径への移動率は、細粒化の程度を示すもので、移動率の大きいほど細粒化しにくいことを表わす。破碎の型式は、この破碎率と移動率により表-1の様に表わすことができる。マサ土中の鉱物が未風化の場合は、粒子の角部が欠けていく部分破碎であるが、風化が進むと、石英は分割破碎をし、長石はさらに細粒子まで破碎される全破碎の型式をとる。

混合粒径の破碎でも、このような破碎型式を検討すべく、破碎前後の粒度分布曲線から、破碎率および移動率を導くことにした。単一粒径の破碎試験結果より、破碎による中央径および20%径の変化量を次式で求め、これらと、破碎率( $\alpha$ )および破碎前の粒径のすぐ下の粒径の残留率( $\beta$ )との関係を、図-1、図-2に示した。

$$\text{中央径の変化量: } H = 1 - (D'_{50} / D_{50})$$

$$20\% \text{径の変化量: } I = 1 - (D'_{20} / D_{20})$$

ここに、 $D_{50}, D'_{50}$ : 破碎前後の中央径

$D_{20}, D'_{20}$ : 破碎前後の20%径

図-1、図-2より、 $\alpha$ 、 $\beta$ は $H$ および $I$ と対応する。さらに移動率( $\gamma$ ) =  $\beta / \alpha$ であるから、 $H$ 、 $I$ を求めるこことにより、 $\alpha$ 、 $\beta$ が決定でき、それらの値から $\gamma$ が求まる。混合粒径試料に、この方法を適用し、以下、上記の方法で求めた $\alpha$ 、 $\gamma$ により、混合粒径の破碎型式を検討する。

表-1 破碎と細粒化のパターン

	全破碎	分割破碎	部分破碎
粒子の破碎			
模式図			
破碎率	大	大	小
細粒化	大	小	大
鉱物の 風化度	長石 風化大		風化小
石英		風化大	風化小

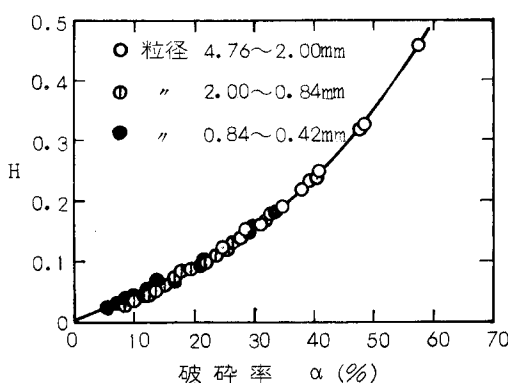


図-1  $H$ と破碎率の関係

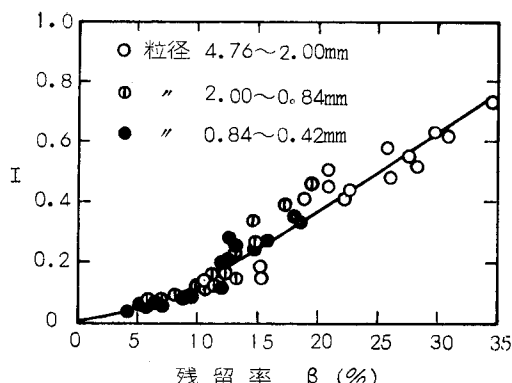


図-2  $I$ と残留率の関係

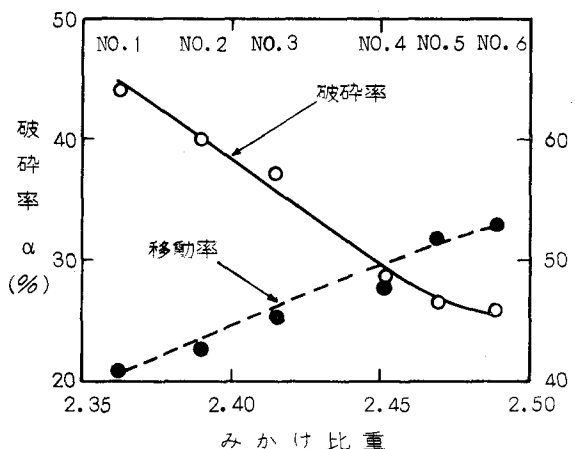


図-3 風化による破碎性の変化

**4-2. 細粒分が破碎性に及ぼす影響** 図-4はマサ土中の $0.42\text{mm}$ 以下の細粒分( $n$ )の存在による破碎性の変化を示したものである。風化度の大きいNO.1試料と風化度の小さいNO.6試料について、細粒分の量を調整して、破碎させた結果である。

まず、破碎率についてみると、 $n=10\%$ 付近でピークをもつことが分かる。とくに風化の進んだNO.1試料において顕著であり、以後 $n$ が増大するにつれて、破碎性は減少している。風化の進んでいないNO.6試料も同様な傾向にあるが、その変化幅は小さい。これらは、以前の報告<sup>2)</sup>と同様の結果を表わしている。

つぎに、細粒化を示す移動率についてみると、 $n$ の増大につれて、細粒化しない傾向を示している。

この両者の関係より、次のことが明らかである。

(1) 風化の進んだマサ土は大きな破碎性を示し、とくに細粒分が $10\%$ 付近でピークをもつが、細粒化はその前後とほとんど変わらない。すなわち、 $n=10\%$ では長石および石英の分割破碎が主であると考えられる。

(2) 細粒分が増大するにともない、破碎性も細粒化も減少する。これは分割破碎と部分破碎の中間段階で、マサ土中の細粒分が破碎に対して緩衝材の役割を果していることを示している。風化の進んでいないマサ土は細粒分の影響をあまり受けない様である。

**5.あとがき** 単一粒径の破碎試験で得られる破碎率、移動率と、破碎前後の中央径、 $20\%$ 径の変化量との相関関係から、混合粒径試料の破碎率、移動率を求めたところ、従来と同様の関係が得られ、この破碎率、移動率により、マサ土の破碎性を表示しうることが分かった。今後、これらは、破碎性が工学的性質に及ぼす影響などを調べる際に、破碎性を表示する有力な要素である。

- 参考文献 1) 松尾・沢：マサ土粒子の選択破碎についての実験的研究、土木学会関西支部講演会、昭48、P. 3-19。 2) 松尾・沢：マサ土の破碎性について、土木学会関西支部講演会、昭46、P. 3-40。 3) 松尾・沢：マサ土粒子の破碎性について、第25回土木学会講演会、昭45、P. 347～348。 4) 松尾・沢：マサ土の強度と破碎性について、土木学会関西支部講演会、昭45、P. 3-8。

#### 4. 破碎率、移動率による混合粒径試料の破碎性の検討

**4-1. 風化と破碎性** 図-3は、みかけ比重により風化度を表示し、比エイ山の6個のマサ土について、破碎率および移動率との関係を示した。これは、以前、均等係数により破碎性を表示したと同様の関係であり、上記の方法の正当性を示している。風化にともない当然破碎性が増大し、それとともに細粒化が進むことを示しており、表-1の破碎型式とも対応している。

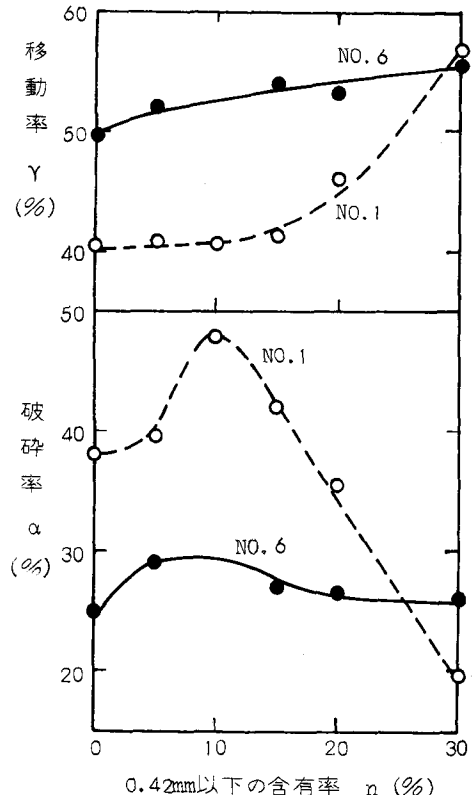


図-4 細粒分による破碎性の変化